

УДК 543.42.062

**А.Ю. Трохименко, О.А. Запорожец**

**ЙОДОМЕТРИЧЕСКОЕ ТВЕРДОФАЗНО-  
СПЕКТРОФОТОМЕТРИЧЕСКОЕ ОПРЕДЕЛЕНИЕ  
НИТРИТА С ИСПОЛЬЗОВАНИЕМ ПЕНОПОЛИУРЕТАНА  
КАК СОРБЕНТА**

Национальный университет им. Тараса Шевченко,

г. Киев, Украина

[annatrohimenko@ukr.net](mailto:annatrohimenko@ukr.net)

*Разработана методика йодометрического твердофазно-спектрофотометрического определения нитрита в природных водах с использованием в качестве сорбента пенополиуретана. В основе методики лежат редокс-реакция между нитритом и йодидом, сорбция образовавшегося йода пенополиуретаном и детектирование его на поверхности сорбента. Линейность градуировочного графика наблюдается до концентрации нитрита 0,5 мг/дм<sup>3</sup>, предел обнаружения – 0,006 мг/дм<sup>3</sup> при объеме пробы 10 см<sup>3</sup>.*

**Ключевые слова:** йодометрия, нитрит, пенополиуретаны, природные воды, твердофазная спектрофотометрия.

**Введение.** Нитрит в водных растворах образуется в основном при биологическом разложении органических веществ, содержащих азот. Высокая токсичность нитрита обусловлена его взаимодействием с гемоглобином, а также превращением под действием ферментов в канцерогенные нитрозоамины [1]. В водах питьевого и бытового назначения его ПДК составляет 3, в водах рыбоводческих хозяйств – 0,08 мг/дм<sup>3</sup> [2, 3]. Среди многообразия существующих методов определения нитрит-ионов основными по-прежнему остаются фотометрические. Большинство из них основано на использовании различных модификаций реакции Грисса, которая заключается в диазотировании ароматических аминов нитрит-ионами в кислой среде с последующим азосочетанием катиона диазония с ароматическими аминами или фенолами с образованием интенсивно окрашенных азосоединений [4].

Перспективным является использование комбинированных методов с применением в качестве сорбента пенополиуретана (ППУ), позволяющих сочетать сорбционное концентрирование и последующее детектирование в твердой фазе с помощью спектроскопии диффузного отражения и твердофазной спектрофотометрии (ТСФ) [5 – 9]. Определение методом спектроскопии диффузного отражения основано на реакциях diazотирования и азосочетания, протекающих с участием концевых толуидиновых групп ППУ [10]. Стадия концентрирования позволяет существенно повысить чувствительность и избирательность определения. Нами были предложены прямые и косвенные методы определения различных форм йода с регистрацией аналитического сигнала молекулярного йода на поверхности ППУ методом ТСФ [11, 12]. Детектирование йода, образующегося при окислении нитритом йодида, используется для спектрофотометрического [13], амперометрического [14], ионохроматографического [15, 16] и хемилюминесцентного [17] определения нитрита.

Цель данной работы – разработка методики определения нитрита в водах путем детектирования с помощью ТСФ адсорбированного на поверхности ППУ йода, образовавшегося при окислении нитритом йодида.

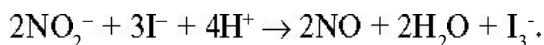
**Методика эксперимента.** Все реагенты были квалификации "х. ч.", и их использовали без дополнительной очистки. Стандартный 0,01 моль/дм<sup>3</sup> раствор нитрита готовили растворением 0,3450 г нитрита натрия в ~400 см<sup>3</sup> воды, далее прибавляли 50 см<sup>3</sup> 0,1 моль/дм<sup>3</sup> гидроксида натрия как стабилизатора нитрита [13] и разбавляли водой до 500 см<sup>3</sup>. При хранении стандартного раствора нитрита при комнатной температуре в темном месте изменений его концентрации в течение 6 м-цев после приготовления не происходило. Исходные растворы йодида калия (0,1 моль/дм<sup>3</sup>) и сульфата меди(II) (0,01 моль/дм<sup>3</sup>) готовили растворением соответствующих навесок препаратов KI и CuSO<sub>4</sub> · 5H<sub>2</sub>O. Рабочие растворы нитрита необходимой концентрации, йодида калия ( $8 \cdot 10^{-3}$  моль/дм<sup>3</sup>) и сульфата меди(II) ( $2 \cdot 10^{-6}$  моль/дм<sup>3</sup>) готовили соответствующим разбавлением их стандартного и исходного растворов. Растворы других реагентов готовили по известным методикам [18].

ППУ на основе простых полизифиров марки М-40 производства Киевского завода "Радикал" нарезали в форме дисков диаметром 15 и высотой 3 мм (средняя масса дисков составляла 0,022 – 0,023 г), промывали серной кислотой, водой и ацетоном [11].

Оптическую плотность растворов трийодида при  $\lambda_{\max} = 350$  нм регистрировали спектрофотометром СФ-26, спектры светопоглощения йода на поверхности сорбента – спектрофотометром Specord M 40 относительно чистой таблетки ППУ. Аналитический сигнал обрабатывали методом гетерохроматической экстраполяции.

Реакцию нитрита с йодидом и сорбцию образовавшегося йода проводили следующим образом [12]. Шприцем емкостью 10 см<sup>3</sup> отбирали определенные объемы рабочих растворов иодида, Cu(II) и нитрита, 1,0 см<sup>3</sup> раствора серной кислоты (5 моль/дм<sup>3</sup>) и воду до общего объема 10,0 см<sup>3</sup>. Перемешивали и через 5 мин раствор из шприца пропускали сквозь мембрану в воронку, на дне которой предварительно был закреплен диск ППУ. При этом лишний воздух из воронки вытеснялся через компенсирующую иглу-капилляр. Открывали кран воронки и пропускали раствор со скоростью 2,5 см<sup>3</sup>/мин сквозь сорбент. Затем сорбент извлекали, отжимали между листами фильтровальной бумаги, помещали в кювету спектрофотометра верхней стороной в направлении детектора и фотометрировали.

**Результаты и их обсуждение.** В основе предлагаемой методики определения нитрита лежит его реакция с йодидом, катализируемая ионами Cu(II) [4]:



Образовавшийся йод сорбировали на ППУ и регистрировали аналитический сигнал на поверхности сорбента. Для установления оптимальных условий протекания редокс-реакции определена зависимость оптической плотности растворов от концентрации йодида, катализатора, а также кислотности среды и температуры. Йодид в исследуемой реакции не только восстанавливал нитрит, но и связывал образовавшийся молекулярный йод в трийодидный комплекс.

Для установления оптимальной концентрации йодида изучали светопоглощение растворов трийодидного комплекса при  $\lambda_{\max} = 350$  нм в среде 0,5 моль/дм<sup>3</sup> серной кислоты при концентрации меди(II)  $1 \cdot 10^{-6}$  моль/дм<sup>3</sup>. Как видно из рис. 1, *a*, оптимальной является концентрация  $\Gamma \geq 2 \cdot 10^{-3}$  моль/дм<sup>3</sup>. При более высоких его концентрациях становится заметным светопоглощение растворов сравнения (все компоненты, кроме нитрита). Из рис. 1, *b* видно, что оптическая плотность растворов увеличивается до концентрации серной кис-

лоты 0,3 моль/дм<sup>3</sup> и остается постоянной при последующем повышении кислотности среды.

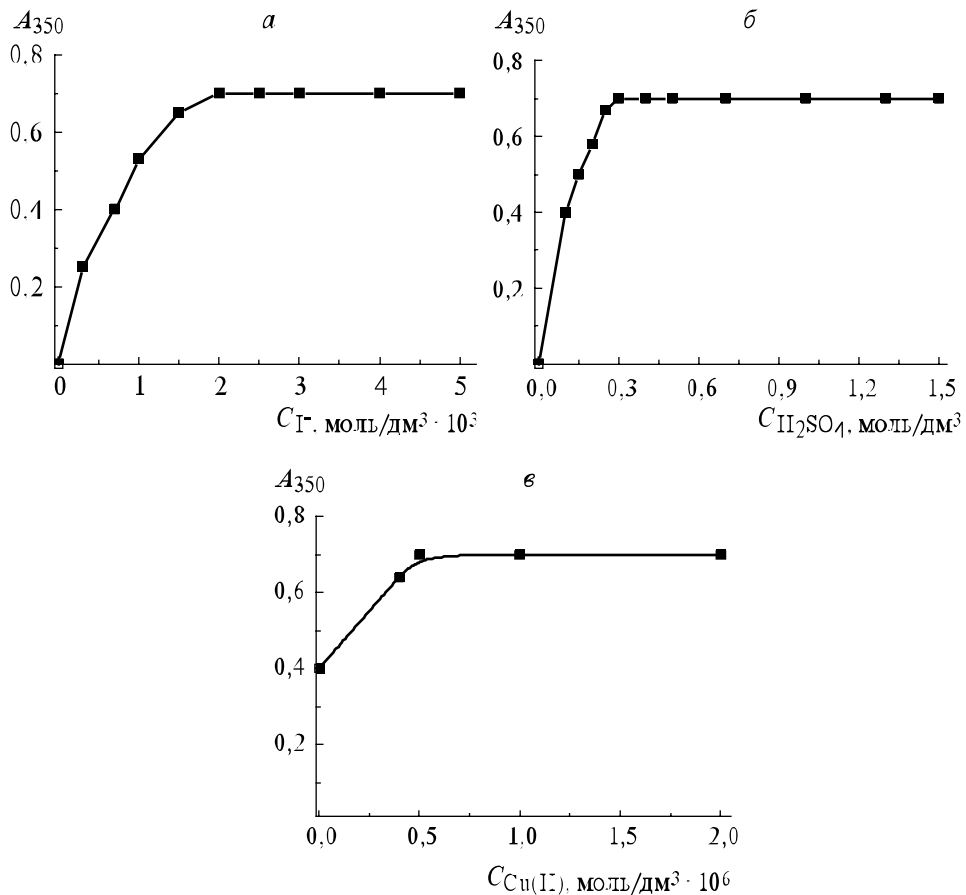


Рис. 1. Влияние концентрации йодида (а), серной кислоты (б) и Cu(II) (в) на степень окисления йодида нитритом. Концентрации  $NO_2^-$  –  $5,4 \cdot 10^{-5}$  (а – в),  $H_2SO_4$  – 0,5 (а, в), Cu(II) –  $1 \cdot 10^{-6}$  (а, б),  $I^-$  –  $4 \cdot 10^{-5}$  моль/дм<sup>3</sup> (б, в).  $l = 1 \text{ см}$ ,  $T = 293 \text{ K}$ .

В оптимальных условиях протекания реакции и постоянной концентрации нитрита при прибавлении микротомичеств Cu(II) оптическая плотность растворов увеличивается (см. рис. 1, в) и остается неизменной в интервале концентраций Cu(II) 0,5 – 2,0 мкмоль/дм<sup>3</sup>. При более высокой ее концентрации возрастает светопоглощение холостой пробы.

На основе полученных данных дальнейшие исследования проводили при концентрации йодида 4,0 ммоль/дм<sup>3</sup>, серной кислоты

0,5 моль/дм<sup>3</sup>, Cu(II) 1,0 мкмоль/дм<sup>3</sup>. Общий объем растворов составлял 10,0 см<sup>3</sup>.

Йод, выделившийся в результате протекания нитрито-йодидной реакции, сорбировали, как описано выше. В электронных спектрах поглощения йода на ППУ (рис. 2, кривые 2, 3) наблюдалась одна полоса поглощения с  $\lambda_{\max} = 370$  нм, обусловленная донорно-акцепторным взаимодействием молекулярного йода с кислородом полиэфирных звеньев [11, 12]. Извлечение йода сопровождалось изменением окраски дисков ППУ от белой до желто-коричневой.

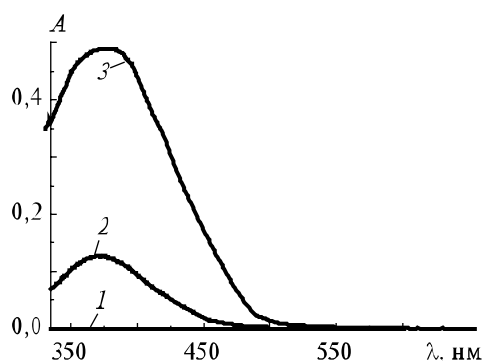


Рис. 2. Электронные спектры поглощения йода на ППУ в отсутствие (1) и при наличии (2, 3) нитрита. Концентрации  $H_2SO_4$  – 0,5,  $I^-$  –  $4 \cdot 10^{-5}$ , Cu(II) –  $1 \cdot 10^{-6}$  моль/дм<sup>3</sup>; концентрации  $NO_2^-$  – 0,14 (2) и 0,58 мг/дм<sup>3</sup> (3). Объем раствора – 10 см<sup>3</sup>, масса ППУ – 0,020 г.

Светопоглощение сорбатов при 370 нм не изменяется в течение более двух суток. Характер изотермы сорбции йода на ППУ свидетельствует о высоком сродстве сорбата к сорбенту [12]. Максимальная емкость ППУ по йоду на участке хемосорбции составляет 15 мкмоль/г. Линейная зависимость между оптической плотностью йода на ППУ и содержанием йода в растворе сохраняется в пределах 30 – 4800 мкг/дм<sup>3</sup>.

Как показано в [12], сорбция гидрофобного йода на ППУ является довольно селективной. Компоненты вод, которые не влияют на состояние йода в водном растворе, не оказывают существенного влияния также и на его извлечение ППУ. Хлориды и бромиды при их концентрации < 0,5 моль/дм<sup>3</sup>, образующие с йодом нестойкие комплексы состава  $I_2Cl^-$  и  $I_2Br^-$  [19, 20], также не оказывают влияния на извлечение йода.

Влияние сопутствующих компонентов на определение нитрита изучали следующим способом. В шприцемкостью 10 см<sup>3</sup> вводили 1,0 см<sup>3</sup> 1,0 мг/дм<sup>3</sup> раствора нитрита, прибавляли 2,0 см<sup>3</sup> растворов посторонних ионов необходимой концентрации, по 2,5 см<sup>3</sup> рабочих растворов йодида калия и Cu(II), 1,0 см<sup>3</sup> 5 моль/дм<sup>3</sup> раствора серной кислоты, воду до общего объема 10 см<sup>3</sup>. Далее осуществляли сорбцию йода и фотометрировали концентраты, как описано выше. Погрешность определения нитрита не превышала  $\pm 5\%$  в присутствии  $<1 \cdot 10^{-3}$  моль/дм<sup>3</sup> Na<sup>+</sup>, K<sup>+</sup>, NH<sub>4</sub><sup>+</sup>, Mg<sup>2+</sup>, Ca<sup>2+</sup>, Zn<sup>2+</sup>, Fe(II), Fe(III), Al(III), Cl<sup>-</sup>, Br<sup>-</sup>, I<sup>-</sup>, NO<sub>3</sub><sup>-</sup>, HPO<sub>4</sub><sup>2-</sup>, CO<sub>3</sub><sup>2-</sup>, SO<sub>4</sub><sup>2-</sup>, ацетата, оксалата, тартрата, лактата, пропионата, бутатата, малоната, а также  $<5 \cdot 10^{-4}$  моль/дм<sup>3</sup> сахарозы, глюкозы, фруктозы, лактозы. Сульфид, сульфит, тиосульфат и аскорбиновая кислота занимают результаты определения из-за их взаимодействия с йодидом или нитритом. Сульфит и тиосульфат не мешают определению только при их концентрации  $\leq 5 \cdot 10^{-7}$ , а аскорбиновая кислота –  $\leq 5 \cdot 10^{-8}$  моль/дм<sup>3</sup>.

В оптимальных условиях изучали зависимость светопоглощения йода на ППУ от концентрации нитрита в водном растворе для построения градуировочного графика. В шприцы емкостью 10 см<sup>3</sup> отбирали по 2,5 см<sup>3</sup> рабочих растворов йодида и Cu(II), добавляли от 0,2 до 4,0 см<sup>3</sup> 1,0 мг/дм<sup>3</sup> раствора нитрита, 1,0 см<sup>3</sup> 5 моль/дм<sup>3</sup> раствора серной кислоты, воду до общего объема раствора 10 см<sup>3</sup>. Смесь перемешивали, извлекали выделившийся йод на ППУ и регистрировали светопоглощение сорбата при 370 нм, как описано выше.

В качестве холостого опыта исследовали светопоглощении таблетки ППУ, сквозь которую предварительно пропускали 10,0 см<sup>3</sup> смеси, состоящей из 2,5 см<sup>3</sup> рабочего раствора йодида калия, 2,5 см<sup>3</sup> рабочего раствора Cu(II) и 5 см<sup>3</sup> воды. Рассеивание света твердой матрицей учитывали, применяя метод гетерохроматической экстраполяции. Градуировочный график для определения нитрита является линейным в интервале концентрации нитрита (0,01 – 0,50) мг/дм<sup>3</sup>. Он описывается уравнением  $A = (4,06 \pm 2,81) \cdot 10^{-3} + (1,37 \pm 0,04)C$ ,  $n = 7$ . Предел обнаружения, рассчитанный по 3 $\sigma$ -критерию, составляет 0,006 мг/дм<sup>3</sup>.

**Определение нитрита в природных водах.** Шприцем емкостью 10,0 см<sup>3</sup> последовательно отбирали по 2,5 см<sup>3</sup> рабочих растворов йодида калия ( $8 \cdot 10^{-3}$  моль/дм<sup>3</sup>) и Cu(II) ( $2 \cdot 10^{-6}$  моль/дм<sup>3</sup>), 4,0 см<sup>3</sup> пробы воды, 1,0 см<sup>3</sup> 5,0 моль/дм<sup>3</sup> раствора серной кислоты и дистиллированную воду до общего объема раствора 10 см<sup>3</sup>, перемешивали и далее поступали,

как при построении градуировочного графика. Содержание нитрита в образце рассчитывали по градуировочному графику.

В таблице приведены результаты определения нитрита методом ТСФ в некоторых типах вод. Относительное стандартное отклонение при определении нитрита предложенной методикой не превышает 0,10, что свидетельствует об отсутствии значимой систематической погрешности.

*Определение нитрита в природных водах г. Киева (n = 5; P = 0,95)*

Источник воды	Разбавление пробы, n раз	Введено нитрита	Найдено нитрита в разбавленной пробе		Содержание нитрита в исходной пробе
			мг/дм <sup>3</sup>		
р. Днепр	5	—	0,15 ± 0,03	0,74	
	10	—	0,07 ± 0,01	0,69	
	10	0,18	0,25 ± 0,03	0,64	
	10	0,28	0,34 ± 0,03	0,60	
р. Дарница	10	—	0,18 ± 0,02	1,84	
Снег	1	—	0,06 ± 0,01	0,06	
о. Березка	1	—	0,15 ± 0,01	0,15	
Станция аэрации	10	—	0,35 ± 0,03	3,50	
	100	—	0,036 ± 0,004	3,60	
	100	0,18	0,23 ± 0,03	4,14	
	100	0,37	0,40 ± 0,03	3,22	

**Выводы.** Предложенная йодометрическая твердофазно-спектрофотометрическая методика определения нитрита на уровне ПДК в природных водах является простой и экологически безопасной. Она основана на реакции, лежащей в основе других известных методик, но превосходит их по чувствительности (кроме хемилюминесцентной [19]) или простоте выполнения. Сопутствующие вещества в количествах, обычно присутствующих в природных водах, не мешают определению. Реактивы, необходимые для выполнения анализа, как правило, имеются в большинстве лабораторий и расходуются в микроколичествах. При выполнении методики не образуются токсические отходы. В качестве сорбента используют материал, выпускаемый промышленностью.

**Резюме.** Розроблено методику йодометричного твердофазно-спектрофотометричного визначення нітрату в природних водах з використанням як сорбенту пінополіуретану. В основу методики покладено редокс-реакцію між нітратом і йодидом, сорбцію утвореного йоду пінополіуретаном і детектуванні його на поверхні сорбенту. Лінійність градуювального графіка спостерігається до концентрації нітрату  $0,5 \text{ мг}/\text{дм}^3$ , межа виявлення дорівнює  $0,006 \text{ мг}/\text{дм}^3$  при об'ємі проби  $10,0 \text{ см}^3$ .

*A.Yu. Trohimenko, O.A. Zaporozhets*

**IODOMETRIC SOLID-SPECTROPHOTOMETRIC  
DETERMINATION OF NITRITE USING POLYURETHANE FOAM  
AS A SORBENT**

Summary

Iodometric method of solid-spectrophotometric determination of nitrite in natural waters using polyurethane foam as sorbent has been developed. The methodology is preredox reaction between a nitrite and an iodide, adsorption formed iodine on polyurethane and detecting it on the surface of the sorbent. The linearity of the calibration curve is observed up to a concentration of nitrite  $0,5 \text{ mg}/\text{dm}^3$ , detection limit is  $0,006 \text{ mg}/\text{dm}^3$  with a sample volume of  $10 \text{ cm}^3$ .

Список использованной литературы

- [1] *Lijinsky W, Epstein S.S.* // Nature. – 1970. – **21**, N 5227. – P. 21 – 23.
- [2] Экология и безопасность / Под ред. Н.Г. Рыбальского. – М.: ВНИИПИ, 1993. – Т. 2, Ч. 2. – 320 с.
- [3] *Лозовский А.В., Столярова И.В., Приходько Р.В., Гончарук В.В.* // J. Water Chem. and Technol. – 2009. – **31**, N 6. – P. 631 – 643.
- [4] *Moorcroft M.J., Davis J., Compton R.G.* // Talanta. – 2001. – **54**, N 5. – P. 785 – 803.
- [5] Дмитриенко С.Г., Апяри В.В. Пенополиуретаны: сорбционные свойства и применение в химическом анализе. – М.: КРАСАНД, 2010. – 210 с.
- [6] Брыкина Г.Д., Крысина Л.С., Иванов В.М. // Журн. аналит. химии. – 1988. – **43**, № 9. – С. 1547 – 1560.

- [7] Brykina G.D., Marchenko D.Y., Shpigun O.A. // J. Anal. Chem. – 1995. – **50**, N5. – P. 440 – 446.
- [8] Ivanov V.M., Kuznetsova O.V. // Russ. Chem. Rev. – 2001. – **70**, N5. – P. 357 – 372.
- [9] Abbas M.N., Al-Assy N.B., Abdel-Moniem S. // Anal. Lett. – 1989. – **22**, N6. – P. 1555 – 1565.
- [10] Дмитриенко С.Г., Апяри В.В., Свиридова О.А., Бадакова С.А., Золотов Ю.А. // Вест. Москов. ун-та, Сер. химия. – 2004. – **45**, № 2. – P. 131 – 138.
- [11] Трохименко А.Ю., Запорожець О.А. // Вісн. Львів. ун-ту, Сер. хім. – 2012. – **53**. – С. 185 – 191.
- [12] Трохименко А.Ю., Запорожець О.А. // Доп. НАН України. – 2013. – №2. – С. 125 – 132.
- [13] Miura Y, Kusakari K. // Anal. Sci. – 1999. – **55**, N5. – P. 923 – 926.
- [14] Bertotti M., Pletcher D. // Anal. Chim. Acta – 1997. – **337**, N1. – P. 49 – 55.
- [15] Miura Y, Hamada H. // J. Chromatogr., A. – 1999. – **850**, N1. – P. 153 – 160.
- [16] Sacchetto G.A., Favaro G., Pastore P., Fiorani M. // Anal. Chim. Acta – 1994. – **294**, N1. – P. 251 – 260.
- [17] Zui O.V., Terletskaya A.V., Falendysh E.Z., Drapailo O.M. // J. Water Chem. and Technol. – 1994. – **16**, N4. – P. 444 – 450.
- [18] Коростелев П.П. Приготовление растворов для химико-аналитических работ. – М.: Наука, 1964. – 398 с.
- [19] Margerum D.W., Dickson P.N., Nagi J.C., Kumar K., Bowers C.P., Fogelman K.D. // Inorganic Chem. – 1986. – **25**, N27. – P. 4900 – 4904.
- [20] Troy R.C., Kelley M.D., Nagy J.C., Margerum D.W. // Ibid. – 1991. – **30**, N25. – P. 4838 – 4845.

Поступила в редакцию 12.07.2013 г.